

Conteúdo da aula:

### 5.3. Representação fasorial de bipolos elétricos

#### 5.3.1. Bipolos ativos

- a) Fontes de tensão
- b) Fontes de corrente

#### 5.3.2. Bipolos passivos

- a) Resistores
- b) Indutores
- c) Capacitores
- d) Impedância e admitância

### 5.4. Técnicas de análise de circuitos em regime permanente senoidal

#### 5.4.1. Análise de malhas

#### 5.4.2. Análise nodal

Começamos em breve

13/09

## 5.3. Representação fasorial de bipolos elétricos

### 5.3.1. Bipolos ativos

#### a) Fontes de tensão

$v(t) = V_p \cdot \cos(\omega t + \theta_v) \rightsquigarrow \underline{V} = V \angle \theta_v$ , onde  $V = \frac{V_p}{\sqrt{2}}$  (valor eficaz)  
 $\theta_v$  (fase)

ATENÇÃO:

$$\cos \theta = \sin \left( \frac{\pi}{2} + \theta \right)$$

#### b) Fontes de corrente

$i(t) = I_p \cdot \cos(\omega t + \theta_i) \rightsquigarrow \underline{I} = I \angle \theta_i$ , onde  $I = \frac{I_p}{\sqrt{2}}$  (valor eficaz)  
 $\theta_i$  (fase)

$$\underline{I} = I \cos \theta_i + j \cdot I \sin \theta_i$$

retangular

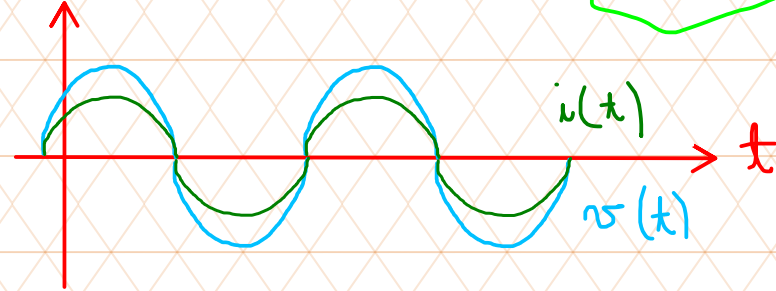
### 5.3. Representação fasorial de bipolos elétricos

#### 5.3.2. Bipolos passivos

##### a) Resistor



$$v(t) = R \cdot i(t) \quad \xrightarrow{\text{Fas}} \quad \dot{V} = R \cdot \dot{I} \quad \therefore R = \frac{\dot{V}}{\dot{I}}$$



$$\begin{aligned} v(t) &= V_p \cos(\omega t + \theta_v) \\ i(t) &= I_p \cos(\omega t + \theta_i) \end{aligned} \quad \left. \vphantom{\begin{aligned} v(t) \\ i(t) \end{aligned}} \right\} \begin{aligned} \frac{V_p}{I_p} &= R; \theta_v = \theta_i \\ \theta_v - \theta_i &= 0 \end{aligned}$$

##### b) Indutor



$$v(t) = L \frac{di(t)}{dt}$$

$$\text{Re} \left\{ e^{j\omega t} \cdot \sqrt{2} \cdot e^{j\theta_v} \cdot \frac{V_p}{\sqrt{2}} \right\} = \text{Re} \left\{ L \cdot \frac{d}{dt} \left[ e^{j\omega t} \cdot \sqrt{2} \cdot e^{j\theta_i} \cdot \frac{I_p}{\sqrt{2}} \right] \right\}$$

fasor
fasor

$$\dot{V} = j\omega L \cdot \dot{I}$$

$X_L > 0$  (reatância indutiva)

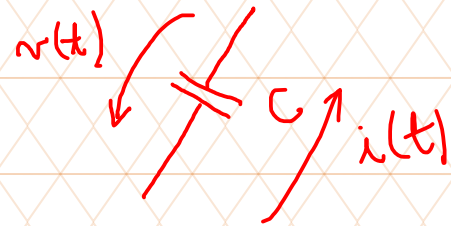
$$\text{Re} \left\{ e^{j\omega t} \cdot \sqrt{2} \cdot e^{j\theta_v} \cdot V \right\} = \text{Re} \left\{ e^{j\omega t} \cdot \sqrt{2} \cdot j\omega L \cdot e^{j\theta_i} \cdot I \right\}$$



### 5.3. Representação fasorial de bipolos elétricos

#### 5.3.2. Bipolos passivos

##### c) Capacitor



$$i(t) = C \cdot \frac{dv(t)}{dt}$$

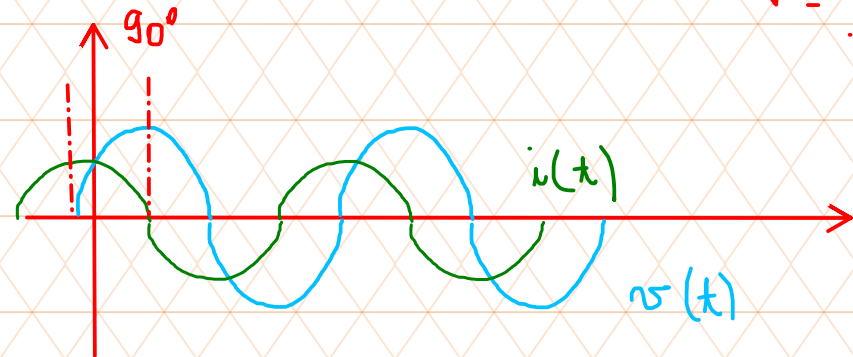
Fas

$$I = j\omega C \cdot V$$

$$V = \frac{1}{j\omega C} \cdot I$$

$$\frac{1}{\omega C} = \frac{V_p}{I_p} = \frac{V}{I}$$

$$\theta_V = \theta_I - 90^\circ$$
$$\theta_V - \theta_I = -90^\circ$$



$$V = -j \frac{1}{\omega C} \cdot I$$

$$X_C < 0$$

(reatância capacitiva)

No capacitor, a corrente está ADIANTADA da tensão de exatos 90 graus

### 5.3. Representação fasorial de bipolos elétricos

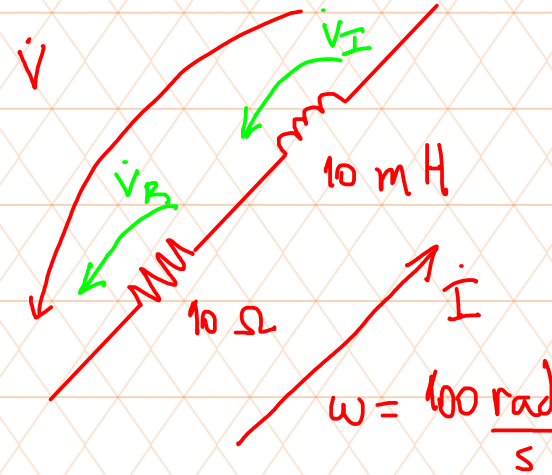
#### 5.3.2. Bipolos passivos

##### d) Impedância (e admitância)

$$\bar{Z} = \frac{\dot{V}}{\dot{I}} = R + jX$$

Reatância [ohms]

Resistência [ohms]



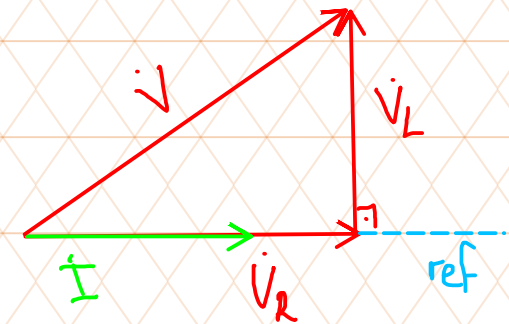
$$\dot{V}_R + \dot{V}_L = \dot{V}$$
$$R \cdot \dot{I} + j\omega L \cdot \dot{I} = \dot{V}$$
$$\underbrace{(R + j\omega L)}_{\bar{Z}} \cdot \dot{I} = \dot{V}$$

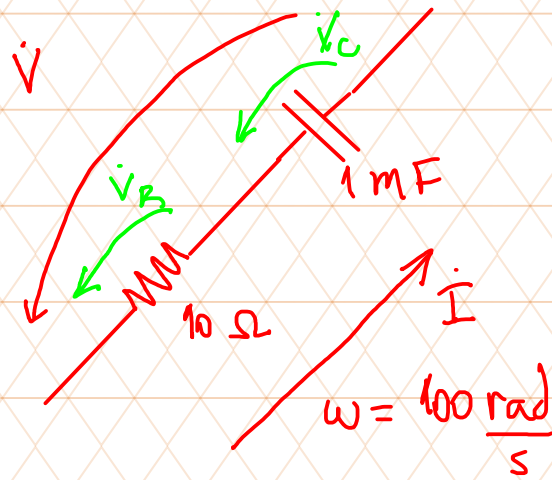
$$\bar{Y} = \frac{\dot{I}}{\dot{V}} = \frac{1}{\bar{Z}} = G + jB$$

Susceptância [siemens] ou [mho]

Condutância [siemens] ou [mho]

$$= \frac{1}{R + jX} \cdot \frac{R - jX}{R - jX} = \frac{R}{R^2 + X^2} + j \frac{-X}{R^2 + X^2}$$

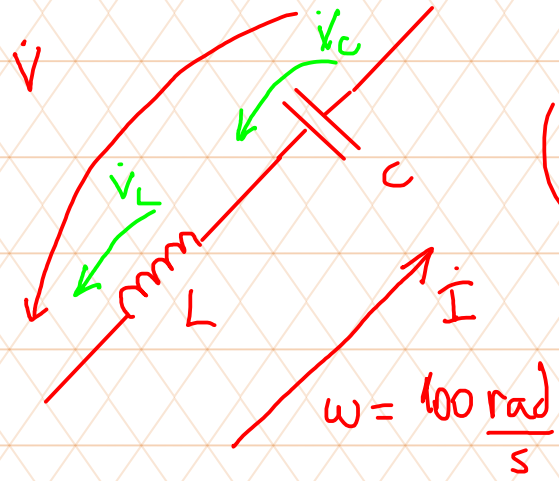
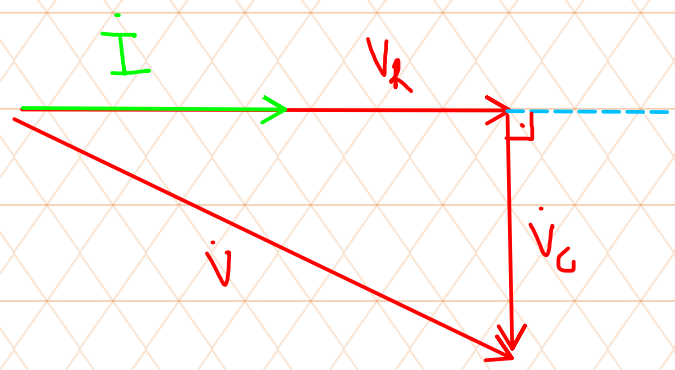




$$V_R + V_C = V$$

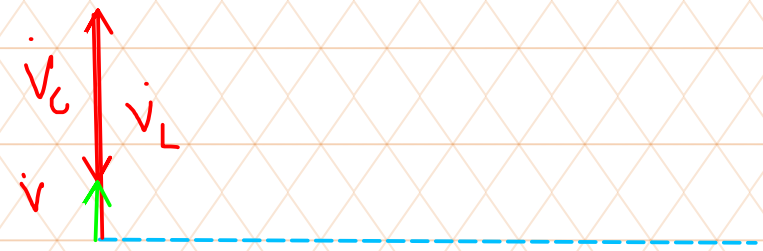
$$R \cdot I + \frac{1}{j\omega C} \cdot I = V$$

$$\underbrace{\left( R - \frac{j}{\omega C} \right)}_{\bar{Z}} \cdot I = V$$



$$V_L + V_C = V$$

$$\underbrace{\left( j\omega L - \frac{j}{\omega C} \right)}_{\bar{Z}} \cdot I = V$$



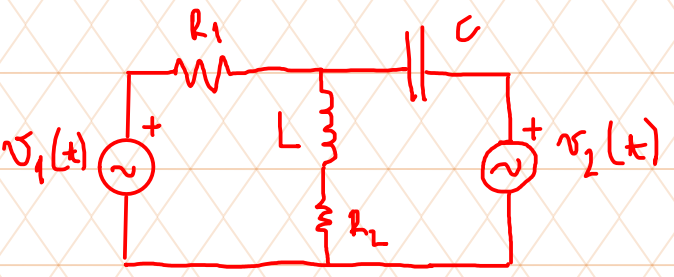
### 5.3. Técnicas de análise de circuitos em regime permanente senoidal

#### 5.3.2. Análise de malhas

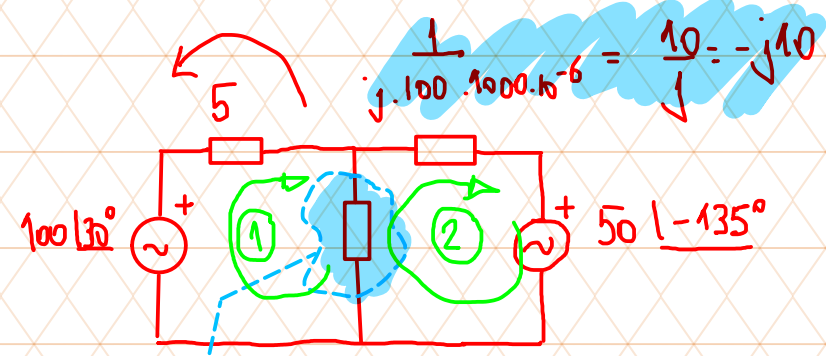
Dado o circuito abaixo, calculo tensões e correntes

$$\cos \theta = \sin \left( \frac{\pi}{2} + \theta \right)$$

$$100t - 45 = 100t + \frac{\pi}{2} + \theta$$
$$\theta = -45 - 90^\circ$$



$t \rightarrow f$



$$Z = R + j\omega L$$
$$10 + j \cdot \frac{100 \cdot 10}{1000}$$
$$= 10 + j1$$

Malha 1:

$$100 \angle 30^\circ - 5 \cdot I_1 - (10 + j1) \cdot (I_1 - I_2) = 0$$

Malha 2:

$$-50 \angle -135^\circ - (10 + j1) (I_2 - I_1) - (-j10) = 0$$

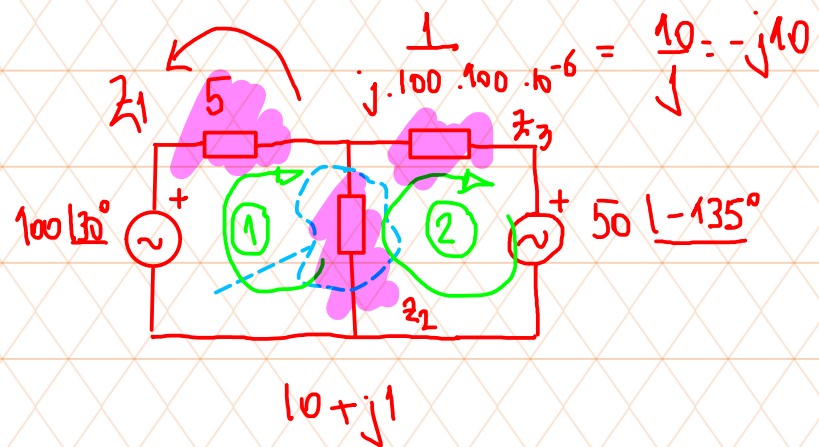
$$v_1 = 100\sqrt{2} \cos(100t + 30^\circ)$$

$$v_2 = 50\sqrt{2} \sin(100t - 45^\circ)$$

$$R_1 = 5 \Omega ; R_2 = 10 \Omega$$

$$L = 10 \text{ [mH]}$$

$$C = 1000 \text{ [\mu F]}$$



$$\begin{bmatrix}
 \textcircled{1} & z_1 + z_2 \\
 \textcircled{2} & -z_2
 \end{bmatrix}
 \begin{bmatrix}
 5 + 10 + j1 \\
 -10 - j1 \\
 -10 - j1 \\
 10 + j1 - j10
 \end{bmatrix}
 \begin{bmatrix}
 I_1 \\
 I_2
 \end{bmatrix}
 =
 \begin{bmatrix}
 100 \angle 30^\circ \\
 -50 \angle -135^\circ
 \end{bmatrix}$$

$[A] \cdot x = b$

$$I_1 = 10,437 \angle 71,353^\circ \text{ [A]}$$

$$i_1(t) = 10,437 \cdot \sqrt{2} \cos(100t + 71,353^\circ) \text{ [A]}$$

$$I_2 = 11,123 \angle 108,83^\circ \text{ [A]}$$

$$i_2(t) = 11,123 \cdot \sqrt{2} \cos(100t + 108,83^\circ) \text{ [A]}$$

```

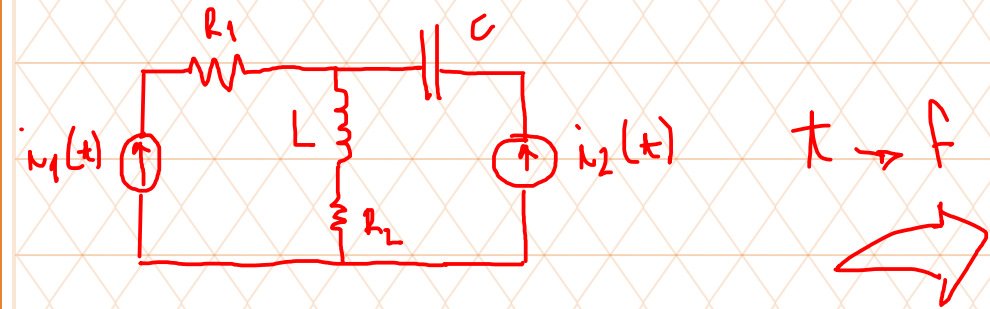
% No MATLAB (ou OCTAVE): sqrt(-1) = 1i;
%
% Dados do problema
clear all;
V1 = 100*exp(1i*30*pi/180); % V1 = 100*(cos(30*pi/180) + 1i*sin(30*pi/180))
V2 = 50*exp(1i*(-135)*pi/180); % V2 = 50*(cos(-135*pi/180) + 1i*sin(-135*pi/180))
R1 = 5;
R2 = 10;
C = 1E-3;
L = 10E-3;
w = 100;
%
% Solucao do problema
Z1 = R1;
Z2 = R2 + 1i*w*L;
Z3 = 1/(1i*w*C);
A = [Z1+Z2 -Z2; -Z2 Z2+Z3];
b = [V1; -V2];
x = A\b; % x = inv(A)*b
I1 = x(1);
I2 = x(2);

```

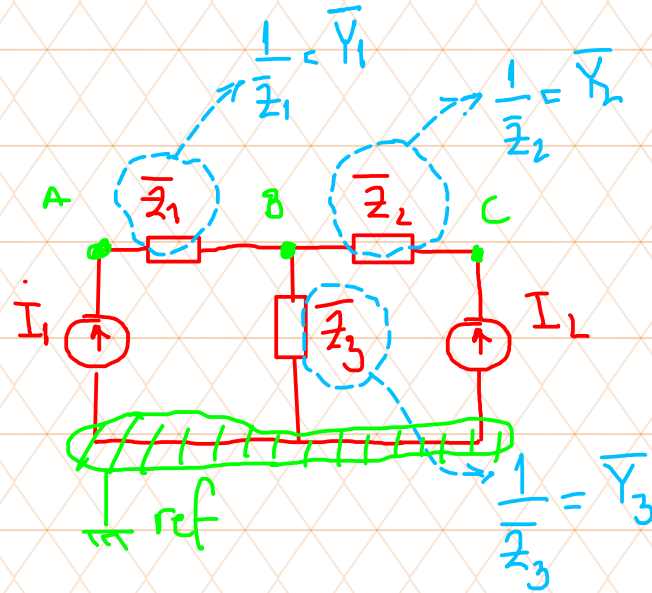
### 5.3. Técnicas de análise de circuitos em regime permanente senoidal

#### 5.3.2. Análise nodal

Dado o circuito abaixo, calculo tensões e correntes



$t \rightarrow f$



$$A) -I_1 + Y_1(\dot{E}_A - \dot{E}_B) = 0$$

$$B) Y_1(\dot{E}_B - \dot{E}_A) + Y_2(\dot{E}_B - \dot{E}_C) + Y_3 \dot{E}_B = 0$$

$$C) -I_2 + Y_2(\dot{E}_C - \dot{E}_B) = 0$$

Por inspeção:

$$\begin{bmatrix} Y_1 & -Y_1 & 0 \\ -Y_1 & Y_1 + Y_2 + Y_3 & -Y_2 \\ 0 & -Y_2 & Y_2 \end{bmatrix} \times \begin{bmatrix} \dot{E}_A \\ \dot{E}_B \\ \dot{E}_C \end{bmatrix} = \begin{bmatrix} I_1 \\ 0 \\ I_2 \end{bmatrix}$$

$[A] \times$

$$\tilde{x} = \tilde{b}$$